

Проявление электрического дипольного момента в распадах τ лептонов, рождённых в e^+e^- аннигиляции

И. В. Образцов^{1,2,*} А. И. Мильштейн^{1,2,**}

¹*Институт ядерной физики им. Г. И. Будкера СО РАН, 630090 Новосибирск, Россия*

²*Новосибирский государственный университет, 630090 Новосибирск, Россия*

Рассмотрены СР-нечетные асимметрии в процессах $e^+e^- \rightarrow \tau^+\pi^-\nu_\tau$, $e^+e^- \rightarrow \pi^+\tau^-\bar{\nu}_\tau$, $e^+e^- \rightarrow \tau^+\rho^-\nu_\tau$, $e^+e^- \rightarrow \rho^+\tau^-\bar{\nu}_\tau$, $e^+e^- \rightarrow \tau^+e^-\nu_\tau\bar{\nu}_e$ и $e^+e^- \rightarrow e^+\tau^-\bar{\nu}_\tau\nu_e$ с продольно поляризованным электронным (позитронным) пучком. Асимметрии линейны по электрическому дипольному формфактору $F_3^\tau \equiv b$ в вершине $\gamma\tau^+\tau^-$. Показано, что для измерения $\text{Im } b$ в указанных процессах поляризация не нужна, однако для измерения $\text{Re } b$ поляризация необходима. Также рассмотрены процессы $e^+e^- \rightarrow \pi^+\pi^-\nu_\tau\bar{\nu}_\tau$, $e^+e^- \rightarrow e^+e^-\nu_\tau\bar{\nu}_\tau\nu_e\bar{\nu}_e$, $e^+e^- \rightarrow \mu^+\mu^-\nu_\tau\bar{\nu}_\tau\nu_\mu\bar{\nu}_\mu$, $e^+e^- \rightarrow \mu^+e^-\nu_\tau\bar{\nu}_\tau\nu_\mu\bar{\nu}_e$ и $e^+e^- \rightarrow e^+\mu^-\nu_\tau\bar{\nu}_\tau\nu_e\bar{\nu}_\mu$ с неполяризованными электронным и позитронным пучками. В этих процессах возможно измерить $\text{Im } b$ и $\text{Re } b$.

Введение. Одним из способов поиска Новой Физики (НФ) является прецизионное измерение электрического дипольного момента τ лептона d_τ . Значение d_τ , которое предсказывается Стандартной Моделью (СМ), слишком мало для экспериментального наблюдения. Поэтому регистрация d_τ в эксперименте подтвердит существование НФ.

Проявление d_τ можно изучать в процессах образования $\tau^+\tau^-$ пар в e^+e^- аннигиляции. В общем виде вершина $\gamma\tau^+\tau^-$ может быть записана следующим образом [1, 2]

$$\Gamma^\mu = -ie \left\{ F_1^\tau(k^2)\gamma^\mu + \frac{\sigma^{\mu\nu}k_\nu}{2M} \left[iF_2^\tau(k^2) + F_3^\tau(k^2)\gamma_5 \right] + \left(\gamma^\mu - \frac{2k^\mu M}{k^2} \right) \gamma_5 F_4^\tau(k^2) \right\},$$

где M – масса τ лептона, $e < 0$ – заряд электрона, k – 4-импульс фотона, $F_1^\tau(k^2)$ – формфактор Дирака, $F_2^\tau(k^2)$ – формфактор Паули, $F_3^\tau(k^2)$ – электрический дипольный формфактор, $F_4^\tau(k^2)$ – анапольный формфактор. В пределе $k^2 \rightarrow 0$ эти формфакторы

* e-mail: ivanqwicliv2@gmail.com

** e-mail: A.I.Milstein@inp.nsk.su

принимают следующие значения

$$F_1^\tau(0) = 1, \quad F_2^\tau(0) = a_\tau = \mu'_\tau \frac{2M}{e}, \quad F_3^\tau(0) = d_\tau \frac{2M}{e}, \quad F_4^\tau(0) = 0.$$

Формфактор $F_3^\tau(k^2)$ является следствием нарушения Р и Т четностей, а нарушение Р и С четностей проявляется в наличии $F_4^\tau(k^2)$. В силу СРТ теоремы, нарушение Т эквивалентно нарушению СР. Таким образом, d_τ проявляется в нарушении СР-четности.

Оценка d_l в рамках СМ [3–6] дает $|F_3^e(0)| < |F_3^\mu(0)| < |F_3^\tau(0)| \approx 10^{-23} \ll 1$. Измерить $F_3^\tau(0)$ с точностью 10^{-23} на сегодняшний день нельзя. Извлечение из экспериментальных данных ненулевого значения $F_3^\tau(0)$ будет свидетельствовать о существовании НФ. В [7–17] были установлены верхние пределы на $|F_3^\tau(k^2)|$, а в [18–20] были установлены верхние пределы на $\text{Re } F_3^\tau(k^2)$ и $\text{Im } F_3^\tau(k^2)$. В этих экспериментах e^- и e^+ пучки были неполяризованы. Возникает вопрос: в какой степени наличие поляризации у пучков упрощает проведение эксперимента по измерению d_τ ?

В докладе будут использованы результаты, полученные в статье [21]. Рассмотрены процессы $e^+e^- \rightarrow \tau^+\pi^-\nu_\tau$, $e^+e^- \rightarrow \pi^+\tau^-\bar{\nu}_\tau$, $e^+e^- \rightarrow \tau^+\rho^-\nu_\tau$, $e^+e^- \rightarrow \rho^+\tau^-\bar{\nu}_\tau$, $e^+e^- \rightarrow \tau^+e^-\nu_\tau\bar{\nu}_e$ и $e^+e^- \rightarrow \tau^-e^+\nu_e\bar{\nu}_\tau$ с продольно поляризованным e^- пучком. Также обсуждаются процессы $e^+e^- \rightarrow \pi^+\pi^-\nu_\tau\bar{\nu}_\tau$, $e^+e^- \rightarrow e^+e^-\nu_\tau\bar{\nu}_\tau\nu_e\bar{\nu}_e$, $e^+e^- \rightarrow \mu^+\mu^-\nu_\tau\bar{\nu}_\tau\nu_\mu\bar{\nu}_\mu$, $e^+e^- \rightarrow \mu^+e^-\nu_\tau\bar{\nu}_\tau\nu_\mu\bar{\nu}_e$ и $e^+e^- \rightarrow \mu^-e^+\nu_\tau\bar{\nu}_\tau\nu_e\bar{\nu}_\mu$ с неполяризованными e^- и e^+ пучками. В [21] получены аналитические выражения для антисимметричных относительно СР преобразования частей соответствующих сечений при инвариантных массах $\sqrt{s} \ll m_Z$, m_Z – масса Z бозона. Модифицированная $\gamma\tau^+\tau^-$ вершина имеет вид

$$\Gamma^\mu = -ie \left[\gamma^\mu + \frac{\sigma^{\mu\nu} k_\nu}{2M} F_3^\tau(k^2) \gamma_5 \right], \quad k^2 = s.$$

$e^+e^- \rightarrow \tau^+\tau^-$. Рассмотрим продольно поляризованный e^- и неполяризованный e^+ пучки. При $\sqrt{s} \ll m_Z$ будем пренебрегать вкладом Z бозона. Тогда сечение $d\sigma_0$ процесса $e^+e^- \rightarrow \tau^+\tau^-$, просуммированное по поляризациям τ^+ , в с.м. равно

$$d\sigma_0 = \frac{\beta\alpha^2}{4s} \left[1 - \frac{q_\perp^2}{2E^2} + \boldsymbol{\zeta} \mathbf{Z} \right] d\Omega_{\mathbf{q}},$$

$$\mathbf{Z} = \text{Im } b \frac{q_\perp^2 \mathbf{q}}{ME(E+M)} - \text{Im } b \frac{\mathbf{q}_\perp}{M} - \text{Re } b \frac{[\mathbf{q}_\perp \times \boldsymbol{\Lambda}]}{M} + \frac{M}{E} \boldsymbol{\Lambda} + \frac{(\mathbf{q}\boldsymbol{\Lambda}) \mathbf{q}}{E(E+M)},$$

$$b = F_3^\tau(s), \quad s = 4E^2, \quad \beta = q/E,$$

где E – энергия электрона, \mathbf{q} – импульс τ^- , $\mathbf{q}_\perp = \mathbf{q} - \boldsymbol{\Lambda}(\mathbf{q}\boldsymbol{\Lambda})$, $\boldsymbol{\zeta}$ – спин τ^- , $\boldsymbol{\Lambda} = \lambda \mathbf{e}_z$, вектор \mathbf{e}_z направлен по импульсу электрона, λ – спиральность электрона, мы отбросили в $d\sigma_0$

квадратичные по b члены. Линейные по b члены входят только в зависящую от ζ часть сечения, а член $\propto \text{Re } b$ линейно зависит от Λ . Чтобы вклад $\text{Re } b$ присутствовал в случае неполяризованного e^- пучка, необходимо измерить поляризацию τ^+ . Поляризацию τ^- и τ^+ можно измерять, изучая различные моды распада τ .

$e^+e^- \rightarrow \tau^+\pi^-\nu_\tau$ и $e^+e^- \rightarrow \tau^-\pi^+\bar{\nu}_\tau$. Рассмотрим CP-нечетную асимметрию dA_π в процессах $e^+e^- \rightarrow \tau^+\pi^-\nu_\tau$ и $e^+e^- \rightarrow \tau^-\pi^+\bar{\nu}_\tau$ с продольно поляризованным e^- и неполяризованным e^+ пучками

$$dA_\pi = \frac{d\sigma_\pi^{(-)}(\mathbf{k}) - d\sigma_\pi^{(+)}(-\mathbf{k})}{2\sigma_0} \propto \text{Im } b d\mathbf{k}, \quad (1)$$

здесь $d\sigma_\pi^{(-)}(\mathbf{k})$ – сечение процесса $e^+e^- \rightarrow \tau^+\pi^-\nu_\tau$, $d\sigma_\pi^{(+)}(-\mathbf{k})$ – сечение процесса $e^+e^- \rightarrow \tau^-\pi^+\bar{\nu}_\tau$, \mathbf{k} – импульс пиона. В выражении (1) взят интеграл по $d\Omega_q$. Видно, что dA_π содержит лишь $\text{Im } b$.

$e^+e^- \rightarrow \tau^+\rho^-\nu_\tau$ и $e^+e^- \rightarrow \tau^-\rho^+\bar{\nu}_\tau$. Рассмотрим CP-нечетную асимметрию dA_ρ в процессах $e^+e^- \rightarrow \tau^+\rho^-\nu_\tau$ и $e^+e^- \rightarrow \tau^-\rho^+\bar{\nu}_\tau$ с продольно поляризованным e^- и неполяризованным e^+ пучками

$$dA_\rho = \frac{d\sigma_\rho^{(-)}(\mathbf{p}, \mathbf{f}) - d\sigma_\rho^{(+)}(-\mathbf{p}, -\mathbf{f})}{2\sigma_0} \propto [C_1^\rho \text{Re } b + C_2^\rho \text{Im } b] d\mathbf{p}, \quad (2)$$

здесь $d\sigma_\rho^{(-)}(\mathbf{p}, \mathbf{f})$ – сечение процесса $e^+e^- \rightarrow \tau^+\rho^-\nu_\tau$, $d\sigma_\rho^{(+)}(-\mathbf{p}, -\mathbf{f})$ – сечение процесса $e^+e^- \rightarrow \tau^-\rho^+\bar{\nu}_\tau$, \mathbf{p} и \mathbf{f} – импульс и поляризация ρ мезона. В выражении (2) взят интеграл по $d\Omega_q$. Определить поляризацию ρ мезона можно из основного канала распада $\rho^\pm \rightarrow \pi^\pm\pi^0$. В dA_ρ дает вклад как $\text{Im } b$, так и $\text{Re } b$, причем $C_1^\rho \propto ([\Lambda \times \mathbf{f}]\mathbf{p})$.

$e^+e^- \rightarrow \tau^+e^-\nu_\tau\bar{\nu}_e$ и $e^+e^- \rightarrow \tau^-e^+\nu_e\bar{\nu}_\tau$. Рассмотрим CP-нечетную асимметрию dA_e в процессах $e^+e^- \rightarrow \tau^+e^-\nu_\tau\bar{\nu}_e$ и $e^+e^- \rightarrow \tau^-e^+\nu_e\bar{\nu}_\tau$ с продольно поляризованным e^- и неполяризованным e^+ пучками

$$dA_e = \frac{d\sigma_e^{(-)}(\mathbf{k}) - d\sigma_e^{(+)}(-\mathbf{k})}{2\sigma_0} \propto [C_1^e \text{Re } b + C_2^e \text{Im } b] d\Omega_q d\mathbf{k}, \quad (3)$$

здесь $d\sigma_e^{(-)}(\mathbf{k})$ – сечение процесса $e^+e^- \rightarrow \tau^+e^-\nu_\tau\bar{\nu}_e$, $d\sigma_e^{(+)}(-\mathbf{k})$ – сечение процесса $e^+e^- \rightarrow \tau^-e^+\nu_e\bar{\nu}_\tau$, \mathbf{k} – импульс электрона. В dA_e дает вклад как $\text{Im } b$, так и $\text{Re } b$, причем $C_1^e \propto ([\Lambda \times \mathbf{q}]\mathbf{k})$. Если проинтегрировать (3) по $d\Omega_q$ и $d\Omega_k$, то получим асимметрию, которая изображена на Рис. 1. Эта асимметрия имеет излом при $k = k_0 = (E - q)/2$. Если $E/M \rightarrow 1$, то $k_0/k_{max} \rightarrow 1$, а если $E/M \rightarrow \infty$, то $k_0/k_{max} \rightarrow 0$.

$e^+e^- \rightarrow \tau^+\tau^- \rightarrow \pi^+\pi^-\nu_\tau\bar{\nu}_\tau$. Рассмотрим CP-нечетную асимметрию $dA_{\pi\pi}$ в процессе $e^+e^- \rightarrow \pi^+\pi^-\nu_\tau\bar{\nu}_\tau$ с неполяризованными e^- и e^+ пучками

$$dA_{\pi\pi} = \frac{d\sigma_{\pi\pi}(\mathbf{k}_1, \mathbf{k}_2) - d\sigma_{\pi\pi}(-\mathbf{k}_2, -\mathbf{k}_1)}{2\sigma_0} \propto [D_1^\pi \text{Re } b + D_2^\pi \text{Im } b] d\mathbf{k}_1 d\mathbf{k}_2,$$

здесь $d\sigma_{\pi\pi}(\mathbf{k}_1, \mathbf{k}_2)$ – сечение процесса $e^+e^- \rightarrow \tau^+\tau^- \rightarrow \pi^+\pi^-\nu_\tau\bar{\nu}_\tau$, \mathbf{k}_1 и \mathbf{k}_2 – импульсы π^- и π^+ , а также взят интеграл по $d\Omega_q$. Видно, что $dA_{\pi\pi}$ содержит как $\text{Re } b$, так и $\text{Im } b$.

Проинтегрировав по модулям векторов \mathbf{k}_1 и \mathbf{k}_2 , получим

$$\frac{dA_{\pi\pi}}{d\Omega_1 d\Omega_2} \propto \left\{ G_1(x) \frac{[(\Lambda \mathbf{n}_1)^2 - (\Lambda \mathbf{n}_2)^2]}{\sqrt{1-x^2}} \text{Im } b + G_2(x) \frac{[(\Lambda \mathbf{n}_1) - (\Lambda \mathbf{n}_2)]([\mathbf{n}_1 \times \mathbf{n}_2] \Lambda)}{\sqrt{2(1-x)(1-x^2)}} \text{Re } b \right\}, \quad (4)$$

где $\mathbf{n}_{1,2} = \mathbf{k}_{1,2}/k_{1,2}$, $x = \mathbf{n}_1 \mathbf{n}_2$. Функции $G_1(x)$ и $G_2(x)$ изображены на Рис. 2. Если сделать преобразование $\mathbf{n}_1 \leftrightarrow \mathbf{n}_2$, то коэффициент перед $\text{Im } b$ сменит знак, а коэффициент перед $\text{Re } b$ не поменяет знак. Наоборот, если сделать преобразование $\mathbf{n}_{1,2} \rightarrow -\mathbf{n}_{1,2}$, то коэффициент перед $\text{Im } b$ не поменяет знак, а коэффициент перед $\text{Re } b$ сменит знак.

$e^+e^- \rightarrow \tau^+\tau^- \rightarrow e^+e^-\nu_\tau\bar{\nu}_\tau\nu_e\bar{\nu}_e$. Рассмотрим CP-нечетную асимметрию dA_{ee} в процессе $e^+e^- \rightarrow e^+e^-\nu_\tau\bar{\nu}_\tau\nu_e\bar{\nu}_e$ с неполяризованными e^- и e^+ пучками

$$dA_{ee} = \frac{d\sigma_{ee}(\mathbf{k}_1, \mathbf{k}_2) - d\sigma_{ee}(-\mathbf{k}_2, -\mathbf{k}_1)}{2\sigma_0} \propto [D_1^e \text{Re } b + D_2^e \text{Im } b] d\mathbf{k}_1 d\mathbf{k}_2,$$

здесь $d\sigma_{ee}(\mathbf{k}_1, \mathbf{k}_2)$ – сечение процесса $e^+e^- \rightarrow e^+e^-\nu_\tau\bar{\nu}_\tau\nu_e\bar{\nu}_e$, \mathbf{k}_1 и \mathbf{k}_2 – импульсы e^- и e^+ , а также взят интеграл по $d\Omega_q$. Видно, что dA_{ee} содержит как $\text{Re } b$, так и $\text{Im } b$.

Проинтегрировав по модулям векторов \mathbf{k}_1 и \mathbf{k}_2 , получим

$$\frac{dA_{ee}}{d\Omega_1 d\Omega_2} \propto \left\{ -\frac{G_1(x)}{3} \frac{[(\Lambda \mathbf{n}_1)^2 - (\Lambda \mathbf{n}_2)^2]}{\sqrt{1-x^2}} \text{Im } b + \frac{G_2(x)}{9} \frac{[(\Lambda \mathbf{n}_1) - (\Lambda \mathbf{n}_2)]([\mathbf{n}_1 \times \mathbf{n}_2] \Lambda)}{\sqrt{2(1-x)(1-x^2)}} \text{Re } b \right\}, \quad (5)$$

где $\mathbf{n}_{1,2} = \mathbf{k}_{1,2}/k_{1,2}$, $x = \mathbf{n}_1 \mathbf{n}_2$. Формулы (4) и (5) имеют одинаковую структуру, хотя матричные элементы распадов $\tau^- \rightarrow \pi^-\nu_\tau$ и $\tau^- \rightarrow e^-\bar{\nu}_e\nu_\tau$ сильно отличаются. Поскольку масса μ мала по сравнению с массой τ , асимметрии в процессах $e^+e^- \rightarrow \mu^+\mu^-\nu_\tau\bar{\nu}_\tau\nu_\mu\bar{\nu}_\mu$, $e^+e^- \rightarrow \mu^+e^-\nu_\tau\bar{\nu}_\tau\nu_\mu\bar{\nu}_\mu$ и $e^+e^- \rightarrow \mu^-e^+\nu_\tau\bar{\nu}_\tau\nu_\mu\bar{\nu}_\mu$ имеют аналогичный вид.

Заключение. Рассмотрены CP-нечетные асимметрии в процессах $e^+e^- \rightarrow \tau^+\pi^-\nu_\tau$, $e^+e^- \rightarrow \pi^+\tau^-\bar{\nu}_\tau$, $e^+e^- \rightarrow \tau^+\rho^-\nu_\tau$, $e^+e^- \rightarrow \rho^+\tau^-\bar{\nu}_\tau$, $e^+e^- \rightarrow \tau^+e^-\nu_\tau\bar{\nu}_e$ и $e^+e^- \rightarrow \tau^-e^+\nu_e\bar{\nu}_\tau$ с продольно поляризованным электронным и неполяризованным позитронным пучками,

а также в процессах $e^+e^- \rightarrow \pi^+\pi^-\nu_\tau\bar{\nu}_\tau$, $e^+e^- \rightarrow e^+e^-\nu_\tau\bar{\nu}_\tau\nu_e\bar{\nu}_e$, $e^+e^- \rightarrow \mu^+\mu^-\nu_\tau\bar{\nu}_\tau\nu_\mu\bar{\nu}_\mu$, $e^+e^- \rightarrow \mu^+e^-\nu_\tau\bar{\nu}_\tau\nu_\mu\bar{\nu}_e$ и $e^+e^- \rightarrow \mu^-e^+\nu_\tau\bar{\nu}_\tau\nu_e\bar{\nu}_\mu$ с неполяризованными электронным и позитронным пучками для e^+e^- инвариантных масс $\sqrt{s} \ll m_Z$. Подробные вычисления и полные выражения для асимметрий можно найти в статье [21]. Показано, что для измерения $\text{Im } b$ поляризация не нужна, а для измерения $\text{Re } b$ необходимости в поляризации нет, но её наличие упрощает измерение. Сегодня не существуют эксперименты с продольно поляризованными электронными пучками. Такой эксперимент планируется провести на Супер-Чарм-Тау фабрике (СЧТФ) [22]. СЧТФ – это e^+e^- коллайдер со светимостью $\sim 10^{35} \text{ см}^{-2} \text{ с}^{-1}$ и энергией в с.ц.м от 3 до 5 – 7 ГэВ. Он станет интенсивным источником τ лептонов. В силу СРТ теоремы $\text{Im } b = 0$. При характерном масштабе НФ $\Lambda_{NP} \gg M$ можно ожидать $\text{Im } b \ll \text{Re } b$ при $s \gtrsim M$. По этой причине использование продольно поляризованных электронных пучков, которые упрощают измерение $\text{Re } b$, очень важно.

-
1. X. Chen and Y. Wu, J. High Energy Phys. 10 (2019) 089.
 2. S. Eidelman *et al.* J. High Energy Phys. 03 (2016) 140.
 3. M. J. Booth, arXiv:hep-ph/9301293.
 4. U. Mahanta, Phys. Rev. D **54**, 3377 (1996).
 5. Y. Yamaguchi and N. Yamanaka, Phys. Rev. Lett. **125**, 241802 (2020).
 6. Y. Yamaguchi and N. Yamanaka, Phys. Rev. D **103**, 013001 (2021).
 7. S. M. Barr and W. J. Marciano, Adv. Ser. Direct. High Energy Phys. **3**, 455 (1989).
 8. J. A. Grifols and A. Mendez, Phys. Lett. B **255**, 611 (1991) ; **259** 512(E) (1991).
 9. R. Escribano and E. Masso, Phys. Lett. B **301**, 419 (1993).
 10. R. Escribano and E. Masso, Phys. Lett. B **395**, 369 (1997).
 11. L. Taylor, Nucl. Phys. B, Proc. Suppl. **55**, 285 (1997).
 12. K. Ackerstaff *et al.* (OPAL Collaboration), Phys. Lett. B **431**, 188 (1998).
 13. M. Acciarri *et al.* (L3 Collaboration), Phys. Lett. B **434**, 169 (1998).
 14. J. Abdallah *et al.* (DELPHI Collaboration), Eur. Phys. J. C **35**, 159 (2004).
 15. P. Achard *et al.* (L3 Collaboration), Phys. Lett. B **585**, 53 (2004).
 16. A. E. Blinov and A. S. Rudenko, Nucl. Phys. B, Proc. Suppl. **189**, 257 (2009).

17. A. G. Grozin, I. B. Khriplovich and A. S. Rudenko, Phys. At. Nucl. **72**, 1203 (2009).
18. H. Albrecht *et al.* (ARGUS Collaboration), Phys. Lett. B **485**, 37 (2000).
19. K. Inami *et al.* (Belle Collaboration), Phys. Lett. B **551**, 16 (2003).
20. K. Inami *et al.* (Belle Collaboration), J. High Energy Phys. 04 (2022) 110.
21. I. V. Obraztsov and A. I. Milstein, Phys. Rev. D **107**, 093001 (2023).
22. https://sct.inp.nsk.su/media/cdr/SCT_Physics_Program__rus_Egsu8BE.pdf.

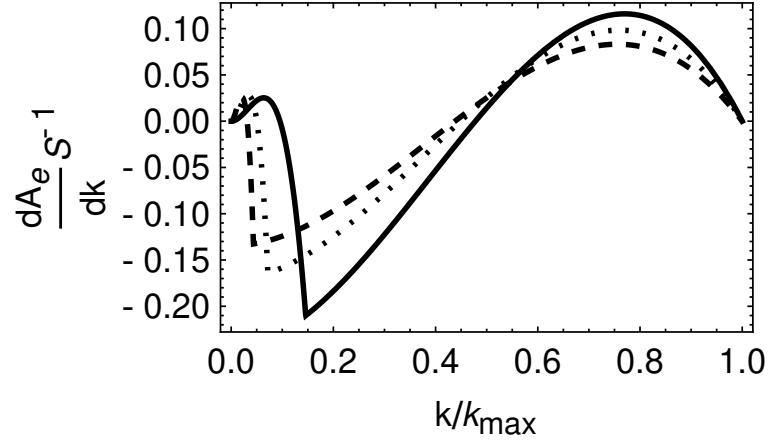


Рис. 1. Асимметрия dA_e/dk в единицах $S = B_e \text{Im } b/M$ как функция k/k_{max} для $E = 1.5M$ (сплошная кривая), $E = 2M$ (пунктирная кривая), $E = 2.5M$ (штриховая кривая), где $k_{max} = (E + q)/2$, B_e – бранчинг распада $\tau^- \rightarrow e^- \bar{\nu}_e \nu_\tau$.

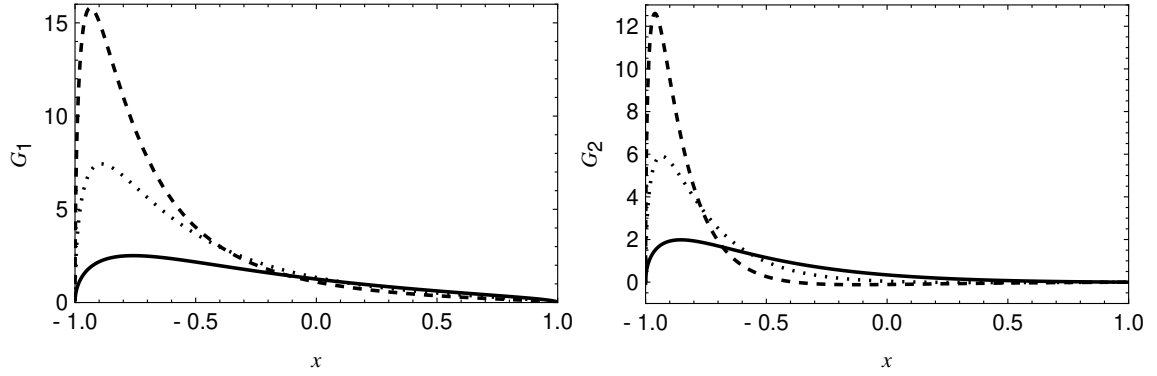


Рис. 2. Зависимость функций $G_1(x)$ (слева) и $G_2(x)$ (справа) от $x = n_1 n_2$ для $E = 1.5M$ (сплошная кривая), $E = 2M$ (пунктирная кривая), $E = 2.5M$ (штриховая кривая).